

بررسی الگوی موج اطراف یک شناور پلینینگ استپ‌دار

سجاد تاج گله و بسی^۱، حسن قاسمی^۲، محمد بختیاری^۳

^۱ کارشناسی ارشد، دانشگاه صنعتی امیرکبیر، تهران؛ sajad.veysi@yahoo.com

^۲ هیات علمی، دانشگاه صنعتی امیرکبیر، تهران؛ gasemi@aut.ac.ir

^۳ کارشناسی ارشد، دانشگاه صنعتی امیرکبیر تهران؛ navalarchitect2000@yahoo.com

(تاریخ دریافت: ۹۵/۴/۳۰؛ تاریخ پذیرش: ۹۵/۵/۱۲)

چکیده:

امروزه، کاهش درگ در شناورهای تندروی تکبدنه به منظور دست‌یابی به سرعت‌های بالا امری مهم بوده و سیار مورد توجه می‌باشد. کاهش درگ، با استفاده از روش‌هایی مانند پوشش‌های مختلف، نصب تجهیزات متفرقه و تغییر در فرم بدنه شناور تندرو میسر می‌شود. از جمله روش‌های کارآمد در این زمینه می‌توان به ایجاد استپ^۱ در کف شناور پلینینگ اشاره کرد که در سرعت‌های بالا، باعث کاهش سطح خیس و در نهایت کاهش قابل ملاحظه درگ می‌شود. تاکنون، اکثر مطالعات بر روی پارامترهای هیدرودینامیکی شناورهای استپ‌دار انجام شده‌اند و کمتر به بررسی الگوی موج تولیدشده اطراف این شناورها پرداخته شده است. در این مقاله، الگوی موج تولیدشده در اطراف یک شناور پلینینگ استپ‌دار به روش عددی مورد مطالعه قرار می‌گیرد. برای این منظور، از معادلات RANS همراه با مدل اختشاشی $k-\epsilon$ ^۲ برای شبیه‌سازی جریان مغلوش حول بدنه شناور استپ‌دار استفاده می‌شود. سطح آزاد جریان نیز با بکارگیری مدل دوفازی VOF مدل‌سازی می‌شود. برای اعتبارسنجی، مقایسه‌ای بین نتایج عددی به دست آمده از این روش و نتایج به سازگاری نسبتاً خوبی را بین این دو روش نشان می‌دهد.

واژه‌های کلیدی:

شناور تندرو، درگ، استپ، دینامیک سیالات محاسباتی.

Investigation of Wave Pattern Around a Stepped Planning Hull

S. Veysi¹, H. Ghassemi², M. Bakhtiari³

¹MSc degree, Department of Maritime Engineering, Amirkabir University of Technology

³Professor, Department of Maritime Engineering, Amirkabir University of Technology

²PhD student, Department of Maritime Engineering, Amirkabir University of Technology

(Submitted: 2016/July/20; Accepted: 2016/Aug/2)

Abstract

Today, the drag reduction in high speed planning hull vessel, in order to achieve higher speeds, is of great importance and there is a considerable interest to it. Drag reduction becomes possible through using various coating methods, installation of various equipments and changes in the hull form. Using step at the bottom of the hull is one of the most efficient methods to reduce drag. So far, most studies have been conducted on the hydrodynamic behavior of stepped planning hull, and wave pattern created around the hull has been less studied. In this paper, wave pattern around a stepped planning hull is investigated by numerical method. For this purpose, the RANS equations with $k-\epsilon$ turbulence model are implemented to simulate the turbulent flow around the hull. The VOF model is also used to model free surface. A comparison between the results of present simulation and Savitsky's empirical formula for wake profile was done, that showed a good agreement between the two methods.

Key words: High speed vessel, Drag, Step, Computational fluid dynamics.

¹ Step

۱- مقدمه

توسط تولین مورد استفاده و در ادامه توسط زاهو برای مطالعه رفتار این شناورها در آب آرام بسط داده شد^[۴]. ساوندر^۴ و همکارانش با استفاده از مقادیر مرزی در مسئله‌ی صفحه پلینینگ توانستند ارتباط بین اختلاف پتانسیل و توزیع ورتکس را به دست بیاورند. آنها هیدرودینامیک فشاری و نیروهای لیفت و درگ را برای حالت پلینینگ به دست آوردند^[۵]. قاسمی و همکاران با توسعه یک کد کامپیوتراکتیو یک روش ترکیبی برای تعیین مشخصه‌های هیدرودینامیکی شناورهای پلینینگ ارائه نمودند. در این روش، با استفاده از المان مرزی و تئوری لایه‌ی مرزی به تعیین مشخصه‌های هیدرودینامیکی شناور پلینینگ پرداخته شد. همچنین، آنها از این کد برای مطالعه الگوی موج و ضریب فشار نیز استفاده نمودند^[۶] و ساویتسکی^۵ و مورابیتو^۶ طی یک آزمایشات گسترده بر روی بدنه‌های منشوری و یک حاصل از استپ در بدنه عقبی یک شناور استپدار را مورد بررسی قرار دادند و روابطی برای ارتفاع پروفیل موج در پاشنه شناور در نواحی سنترالین^۷ و یک‌چهارم عرض استخراج نمودند^[۸]. آزمایشاتی را بر روی یک سری بدنه‌ی پلینینگ هاردچاین انجام دادند. آنها ابتدا چهار بدنه‌ی یکسان (A,B,C,D) با تفاوت در نسبت طول به عرض (L/B) را بررسی نمودند. سپس، با ایجاد استپ در مدل C نمودارهای هیدرودینامیکی از قبیل تغییرات درگ، تریم، سطح خیس و آخور را ترسیم نمودند^[۹].

تاکنون، اکثر مطالعات بر روی پارامترهای هیدرودینامیکی شناورهای استپدار انجام گرفته است و کمتر بر روی الگوی موج اطراف این شناورها پرداخته شده است. در این مقاله، الگوی موج اطراف یک شناور پلینینگ استپدار به صورت عددی با نرم‌افزار سی.اف.ایکس بررسی می‌شود و نتایج با روش‌های نیمه‌تجربی مقایسه می‌شود.

۲- پروفیل و یک پاشنه

شناورهای پلینینگ جزو آن دسته از شناورهای تندره هیدرودینامیکی در هنگام دریانوردی می‌باشد و در واقع درصد پایینی از وزن توسط نیروی شناوری تحمل می‌شود. نیروی هیدرودینامیکی نقش اساسی در رفتار و قابلیت‌های دریانوردی و تعادل دینامیکی و سرعت شناور دارد و همچنین، مقدار نیرو به سرعت، سطح خیس، فرم بدنه و عوامل دیگر وابسته می‌باشد. پس از ساخت اولین شناورهای تندره در قرن هجدهم و بکارگیری آنها برای مصارف گوناگون، همواره یکی از مهم‌ترین دغدغه‌ها، افزایش توان و سرعت شناور و کاهش نیروی درگ بوده است. امروزه، استپ به ابزاری مهم برای مهندسین جهت تحقق این امر تبدیل شده است. دلیل اصلی استفاده استپ در شناورهای تندره این است که به دلیل شکستگی در بدنه‌ی شناور، جدایش جریان روی بدنه اتفاق افتاده و سطح خیس کاهش می‌یابد. همچنین، علاوه بر کاهش سطح خیس، شناور به چند بخش کوچک تقسیم می‌شود که عرض هر یک از این قسمت‌ها در مقایسه با طول آن بزرگ‌تر شده و ضریب منظری بالاتری را نتیجه می‌دهد. این کاهش سطح خیس شناور، منجر به کاهش نیروی درگ و کاهش سوخت مصرفی می‌شود. همچنین، مقدار لیفت تولیدشده در سطوح با ضریب منظری بالا بیشتر از سطوح دارای ضریب منظری پایین است. بنابراین، شناور نسبت به حالت بدون استپ دارای لیفت بیشتری است. این امر به شناور کمک می‌کند تا با فاصله گرفتن از سطح آب، دارای سطح خیس کمتر و در نتیجه مقاومت اصطکاکی کمتری باشد^[۱۰].

سالونسن^۲ برای اولین بار از روش تئوری نواری برای به دست آوردن ضرایب لیفت و درگ شناورهای پلینینگ که بر مبنای جریان پتانسیل بود، استفاده کرد. در این تکنیک، بدنه‌ی شناور به چندین صفحه‌ی دو بعدی تقسیم و جریان به صورت دو بعدی روی بدنه‌ی مورد آنالیز قرار می‌گیرد^[۱۱]. فراندولی^۳ این روش را بهبود بخشد و نشان داد که تئوری نواری بیانگر نتایج نسبتاً قابل قبولی در اعداد فرود بالا می‌باشد^[۱۲]. روش دیگر در تحلیل شناورهای پلینینگ روش 2.5D می‌باشد که برای اولین بار

⁴ Savander

⁵ Savitsky

⁶ Morabito

⁷ Centerline

² Salvansen

³ Ferandoli

$$\frac{\partial \rho}{\partial t} + \frac{\partial}{\partial x_j} (\rho u_j) = 0 \quad (3)$$

$$\frac{\partial \rho u_j}{\partial t} + \frac{\partial}{\partial x_j} (\rho u_i u_j) = -\frac{\partial P}{\partial x_i} + \frac{\partial}{\partial x_i} (\tau_{ij} - \rho \bar{u}_i \bar{u}_j) + g_i \quad (4)$$

که در آن u , P و g به ترتیب سرعت، فشار و شتاب جاذبه می‌باشند و $\bar{u}_i \bar{u}_j$ بیانگر تنش‌های رینولدز می‌باشند. بر اساس روابط ویسکوزیته گردابهای^{۱۰} که تنش‌های رینولدز و گردابیان‌های سرعت را با هم مرتبط می‌سازد.

معادلات مهم دیگر، معادلات آشفتگی می‌باشند. مدل توربولانسی $k - \varepsilon$ یکی معروف‌ترین مدل‌های دو معادله‌ای است که پاسخ مناسبی برای طیف وسیعی از پدیده‌ها ارائه می‌نماید و در آن k معرف انرژی جنبشی جریان آشفته^{۱۱} و ε نرخ اضمحلال ویسکوز انرژی جنبشی آشفته نامیده می‌شود. در این مدل ویسکوزیته توربولانسی به وسیله‌ی معادله (۵) به ترم‌های انرژی جنبشی ویسکوزیته و نرخ اضمحلال انرژی جنبشی مرتبط می‌شوند:

$$\mu_t = C_\mu \rho \frac{k^2}{\varepsilon} \quad (5)$$

که در آن C_μ عددی ثابت و مقادیر k و ε از طریق معادله‌های انتقال^{۱۲} که در زیر آمده است، به دست می‌آیند:

$$\frac{\partial(\rho k)}{\partial t} + \frac{\partial}{\partial x_j} (\rho u_j k) = \frac{\partial}{\partial x_j} \left[\left(\mu + \frac{\mu_t}{\sigma_k} \right) \frac{\partial k}{\partial x_j} \right] + p_k - \rho \varepsilon \quad (6)$$

$$\frac{\partial(\rho \varepsilon)}{\partial t} + \frac{\partial}{\partial x_j} (\rho u_j \varepsilon) = \frac{\partial}{\partial x_j} \left[\left(\mu + \frac{\mu_t}{\sigma_\varepsilon} \right) \frac{\partial \varepsilon}{\partial x_j} \right] + \frac{\varepsilon}{k} (C_{\varepsilon 1} P_k - C_{\varepsilon 2} \rho \varepsilon) \quad (7)$$

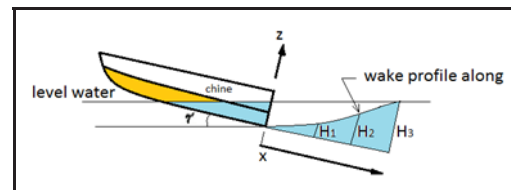
که در آن $\sigma_k, C_{\varepsilon 1}, C_{\varepsilon 2}$ مقادیری ثابت و ترم P_k توربولانس ناشی از نیروهای ویسکوز نام دارد.

مسائله‌ی مهم دیگر مدل‌سازی سطح آزاد می‌باشد که به منظور شبیه‌سازی تغییر شکل‌های پیچیده در سطح مشترک دو سیال، از روش حجمی مدل‌سازی سطح آزاد استفاده شده است. در این حالت، یک معادله انتقال برای محاسبه‌ی نسبت حجمی دو فاز سیال (برای مثال آب و هوا) به صورت زیر در هر گام زمانی حل می‌شود.

در سال ۲۰۰۹ ساویستکی و مورابیتو آزمایشاتی را بر روی بدنه‌های منشوری استپ‌دار به منظور یافتن ویک ایجادشده در پاشنه انجام دادند. برای اندازه‌گیری ارتفاع سطح ویک پشت بدنه در خط سنترلاین و یک چهارم عرض^۸ تست‌های متعددی در زوایای ددرایز^۹ مختلف و زاویای تریم مختلف برای چندین بدنه انجام گرفت. شکل ۱ نمایی از آزمایش و چگونگی اندازه گیری پروفیل ویک پاشنه را نشان می‌دهد^[۸]. محل قرارگیری محور مختصات برای محاسبه ارتفاع ویک در شکل ۲ نشان داده شده است.



شکل (۱): نحوه اندازه گیری پروفیل ویک پاشنه توسط ساویستکی [۸].



شکل (۲): محور مختصات پروفیل ویک برای محاسبه ارتفاع ویک.

پس از استخراج نتایج و آنالیز آنها به کمک نرم‌افزارهای آماری، نتایجی به صورت روابط نیمه‌تجربی ارائه شد. در نهایت، ارتفاع ویک پاشنه برای زوایه ددرایز ۲۰ از روابط زیر به دست می‌آیند:

$$H = 0.17 \left[2 + 0.03 L_k \tau^{1.5} \right] \sin \left[\frac{\pi}{C_v} \left(\frac{X}{3} \right)^{1.5} \right] \text{ for centerline} \quad (1)$$

$$H = 0.17 \left[0.75 + 0.03 L_k \tau^{1.5} \right] \sin \left[\frac{\pi}{C_v} \left(\frac{X}{3} \right)^{1.5} \right] \text{ for 1/4 beam buttock} \quad (2)$$

۱-۲- معادلات حاکم و گسسته‌سازی

معادلات حاکم بر جریان برای بقای جرم و مومنت به ترتیب عبارتند از:

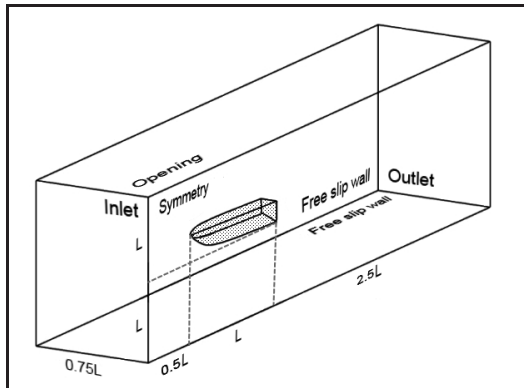
¹⁰ Eddy Viscosity

¹¹ Turbulent Kinetic Energy

¹² Transport Equations

⁸ 1/4 Beam Buttock

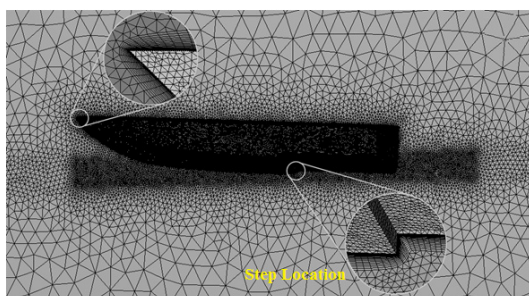
⁹ Deadrise



شکل (۳): دامنه محاسباتی و شرایط مرزی.

۳-۲- شبکه محاسباتی و شرایط مرزی

مش مورد استفاده در شبیه‌سازی‌ها به علت پیچیدگی هندسی بدنه به صورت غیر سازمان‌یافته و با سلول‌های شش‌وجهی می‌باشد. لایه‌ی مرزی روی بدنه‌ی شناور نیز به صورت منظم شبکه‌بندی شده است. به منظور افزایش دقیق شبیه‌سازی دامنه حل به سه ناحیه‌ی کلی تقسیم شده است. ناحیه اول، که نزدیک سطح آزاد است و مش با سایز کوچک زده شده است. ناحیه دوم، نزدیک بدنه که سایز مش خیلی کوچک است و ناحیه سوم که دور از بدنه است واژ مش نسبتاً درشت استفاده شده است. شکل (۴) نمایی از مش‌بندی را نشان می‌دهد. شرایط مرزی انتخابی برای حل مسئله نیز در شکل ۳ نشان داده شده است.



شکل (۴): نمای نزدیک از شبکه محاسباتی.

۳- نتایج

برای شبیه‌سازی جریان اطراف بدنه در این مسئله به منظور به دست آوردن مقادیر متغیرها، محدوده حل یک دامنه دوفازی می‌باشد که دارای دو سیال آب با چگالی $\rho = 997 \text{ kg/m}^3$ و هوا با $\rho = 1.185 \text{ kg/m}^3$ می‌باشد و دمای آب ۲۵ درجه سانتیگراد فرض شده است. برای اطمینان از دقت حل و همگرایی جواب تکرارها تا زمانی

$$\frac{\partial \alpha}{\partial t} + \vec{\nabla} \cdot (\alpha \vec{u}) = 0 \quad (8)$$

پس از حل معادله انتقال نسبت حجمی، چگالی و لزجت سیال معادل طبق رابطه‌ی زیر محاسبه گردیده و در دیگر محاسبات لحظه‌ی شود:

$$\rho_{eff} = \alpha \rho_1 + (1-\alpha) \rho_2 \quad (9)$$

$$v_{eff} = \alpha v_1 + (1-\alpha) v_2 \quad (10)$$

در روابط بالا، زیرنویس‌های ۱ و ۲ بیانگر دو فاز سیال (آب و هوا) هستند. α نسبت حجمی و به عبارت دیگر درصد حضور دو سیال درون هر المان محاسباتی می‌باشد.

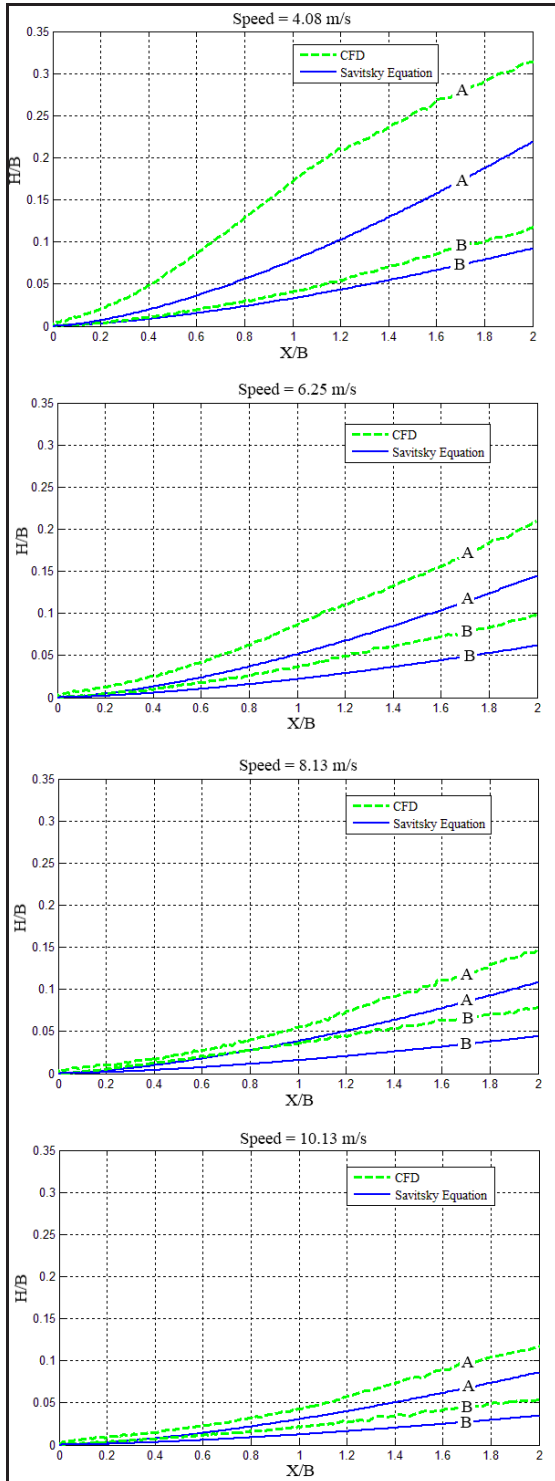
۲-۲- هندسه مدل و دامنه محاسباتی

بدنه‌ی انتخاب شده برای شبیه‌سازی‌های عددی، مدل C1 از سری بدنه‌های تست شده در دانشگاه ساهمپتون در سال ۲۰۱۱ می‌باشد که مشخصات آن در جدول ۱ آورده شده است [۹].

جدول (۱): مشخصات بدنه شناور.

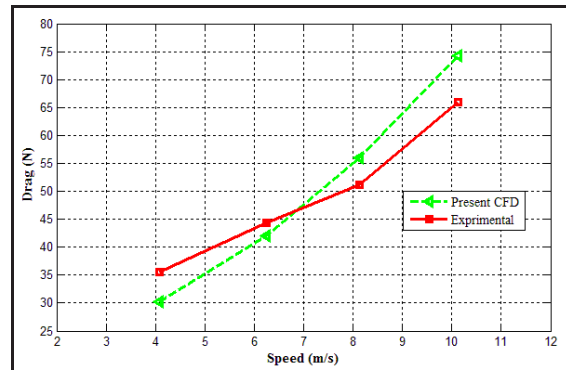
Parameters	Value
Length overall (m)	2
Beam (m)	0.46
Draft (m)	0.09
Displaced weight (N)	243.4
Deadrise angle (degree)	22.5
Distance of the step from transom (m)	0.62
Height of step (m)	0.02

با توجه به شرایط جریان حول بدنه لازم است تا دامنه محاسباتی به اندازه‌ی کافی بزرگ باشد تا مرزهای دامنه به اندازه‌ای در دوردست واقع شوند که تأثیری بر پارمترهای جریان اطراف بدنه و جواب مسئله نداشته باشند. بزرگ بودن بیش از حد دامنه نیز باعث بالا رفتن حجم محاسبات خواهد شد. از این رو، بهینه‌ترین فواصل برای مرزهای شبکه‌ی محاسباتی به طوری که در نتایج حل تأثیرگذار نباشند، انتخاب گردیده و در شکل ۳ نشان داده شده است. با توجه به متقاضی بودن هندسه شناور و به دلیل کاهش حجم محاسبات تنها نیمی از بدنه‌ی مدل شده است.



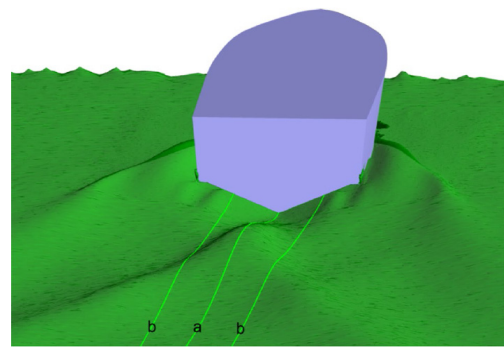
شکل (۷): مقایسه پروفیل‌های ویک در پاشنه شناور با روابط ساویتسکی. (A) سنترلاین، (B) buttock.

که دقیق مقدار باقیمانده‌ها زیر 10^{-4} بر سد و همچنین، مقدار نیروی درگ نیز ثابت شود، ادامه می‌یابد. محاسبات از سرعت ۴ متر بر ثانیه شروع و با فواصل تقریبی ۲ متر بر ثانیه تا سرعت ۱۰ متر بر ثانیه انجام می‌شود. برای اعتبارسنجی شبیه‌سازی انجام گرفته، نیروی درگ را با نتایج آزمایشگاهی مقایسه شده و در شکل ۵ آورده شده است.



شکل (۵): مقایسه نتایج نیروی درگ با مقادیر آزمایشگاهی.

شکل ۶ پروفیل‌های ویک به دست آمده در پاشنه شناور را در موقعیت‌های سنترلاین و یک چهارم عرض بدنه برای سرعت ۶,۲۵ متر بر ثانیه نشان می‌دهد.

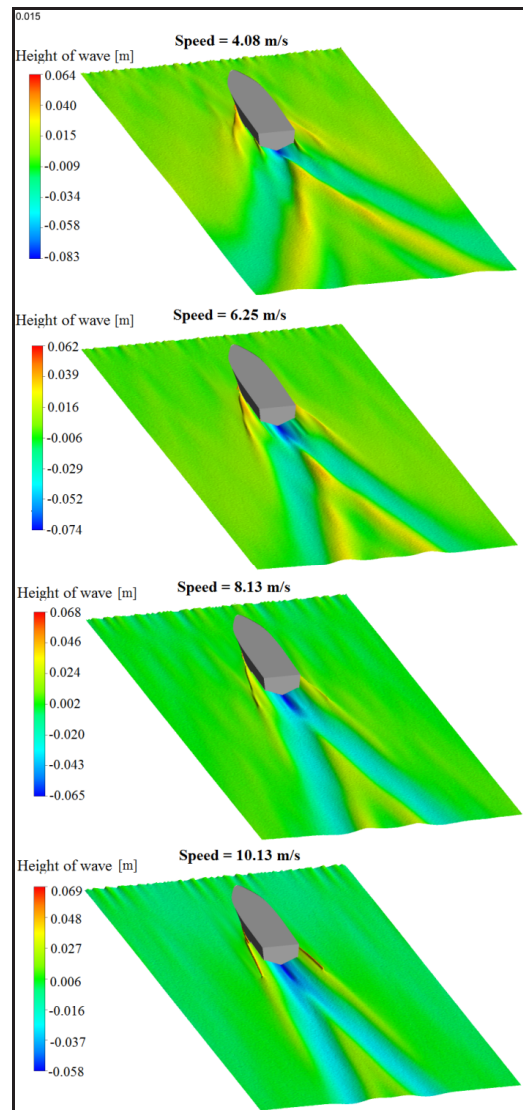


شکل (۶): پروفیل‌های ویک در پاشنه شناور برای سرعت ۶,۲۵ متر بر ثانیه. (a) سنترلاین، (b) ۱/۴ beam (b) buttock

در شکل ۷ نیز مقایسه‌ای بین این پروفیل‌های ویک با پروفیل‌های ویک به دست آمده از روابط ساویتسکی در سرعت‌های مختلف انجام شده است. الگوی موج اطراف بدنه نیز در شکل ۸ به تصویر کشیده شده و برای سرعت‌های مختلف با هم مقایسه شده است.

مراجع:

- [1] Potgieter, K., "Understanding design and performance of Stepped Hulls," Technical Note in Kobus Naval Design. 2011.
- [2] Salvansen, N., Tuck, E., and Faltinsen, O., "Ship motions and sea loads" *Transactions of the SNAME*, Vol. 78, 1997, pp. 250–79.
- [3] Ferandoli, P., Merola, L., Pino, E., and Sebastiani, L., "The role of seakeeoeing calculations at the preliminary design stage" In: NAV 2000 conference, Venice, Italy, 2000, pp. 951–959.
- [4] Zhao, R., Faltinsen, O. M., and Haslum, H. A., "A simplified nonlinear analysis of a high speed planning craft in calm water" In: FAST' 97. Sydney, Australia, 1997, pp. 431–438.
- [5] Savander, B. R., Scorpio, S. M., and Taylor, R. K., "Steady hydrodynamic of planning surface" *Journal of Ship Research*, Vol. 46, 2002, pp. 248–279.
- [6] Ghassemi, H., and Ghiasi, M., "A combined method for the hydrodynamic characteristics of planing crafts" *Ocean Engineering*, Vol. 35, 2008, pp. 310–322.
- [7] Kohansal, A. R., and Ghassemi, H., "A numerical modeling of hydrodynamic characteristics of various planning hull forms" *Ocean Engineering*, 2008, pp. 498–510.
- [8] Savitsky, D., and Morabito, M., "Surface wave contours associated with the forebody wake of stepped planning hulls" *Marine Technology*, Vol. 47, No. 1, 2010, pp. 1–16.
- [9] Taunton, D., Hudson, D., and Shenoi, R., "Characteristics of a series of high speed hard chine planning hulls-part 1: performance in calm water" *International Journal of Small Craft Technology*, Vol. 1, No. 5, 2011, pp. 55–75.



شکل (۸): الگوی موج تولید شده در اطراف بدنه در سرعت‌های مختلف.

۴- نتیجه‌گیری

در این مقاله، الگوی موج اطراف یک شناور تندرو استپ دار به صورت عددی شبیه‌سازی گردید و با توجه به اینکه استفاده از روش‌های عددی در مقایسه با روش‌های آزمایشگاهی، هزینه کمتری دارد در صورت معتبرسازی، می‌توان از نتایج این روش‌ها استفاده نمود. و یک پشت پاشنه در خطوط سنترا لین و یک چهارم عرض ترسیم گردید و با روابط نیمه‌تجربی ساویتسکی مقایسه شد و نتایج از تطابق خوبی برخوردار است. الگوی موج اطراف بدنه ترسیم گردید و مشاهده گردید که با افزایش سرعت شناور، زاویه پخش موج کمتر و میزان فرورفتگی موج پشت پاشنه بیشتر می‌شود.